

УДК 539.3

РАСПРЕДЕЛЕНИЕ НАПРЯЖЕНИЙ
ОКОЛО НЕКАНОНИЧЕСКИХ ПОВЕРХНОСТЕЙ

Ю. Н. Немиш, В. Н. Немиш, П. Ф. Ярема

(Киев, Черновцы)

В работе [13] дан обзор исследований некоторых классов задач механики сплошной среды для неканонических (не допускающих решения краевых задач методом непосредственного разделения переменных) односвязных и многосвязных областей. В частности, рассматриваются вопросы, относящиеся к теории оболочек и пластин, плоским статическим и динамическим задачам теории упругости как в классической, так и в уточненных постановках, двумерным задачам аэрогидроупругости для сжимаемой и несжимаемой жидкости и др. Для решения указанных классов задач использовался единый подход, основанный на развитии методов теории возмущений [6].

Статьи [2, 3, 4, 7, 8, 9, 10] посвящены распространению метода «возмущения формы границы» на пространственные задачи механики сплошной среды для неканонических областей, граничные поверхности которых мало отличаются от сферических. Для фигур, близких к эллипсоиду вращения, приближенный метод решения краевых задач теории упругости развит в работах [11, 12].

В данной статье рассматриваются внешние осесимметричные задачи теории упругости для однородной изотропной среды, ограниченной неканоническими поверхностями вращения. В частности, аналитические и числовые исследования проведены для конической и замкнутых цилиндрических полостей.

§ 1. Рассмотрим поверхность S , образованную вращением вокруг оси oz гипотрохондной кривой Γ , уравнение которой в произвольной меридиональной плоскости zoR записывается на основании зависимостей

$$\varrho = \text{const}; \quad z + iR = \frac{1}{r_0} \omega(\zeta) = \zeta + \varepsilon \zeta^{-k} = r e^{i\theta} \quad (1.1)$$

$$\left(\zeta = \varrho e^{i\theta}, \quad \varepsilon = \frac{m}{k}, \quad 0 < |m| < 1 \right).$$

Здесь линейная величина r_0 характеризует абсолютные размеры контура Γ .

При $k = 1$ уравнениям (1.1) отвечают вытянутые ($\varepsilon > 0$) или сжатые ($\varepsilon < 0$) эллипсоиды вращения.

Если $k > 1$, то при определенных значениях параметра ε из соотношений (1.1) можно получить уравнения, соответствующие «правильному»

($k > 1$)-угельнику с закругленными углами, при вращении которого вокруг оси oz образуются неканонические поверхности. Так, например, при $k = 2$, $\varepsilon = \frac{1}{3} \div \frac{1}{4}$ на основании (1.1) можно построить «правильный» трехугольник, которому соответствует конус, изображенный на рис. 1, а (при $\varepsilon = -\frac{1}{3} \div \frac{1}{4}$ конус зеркально отображается относительно плоско-

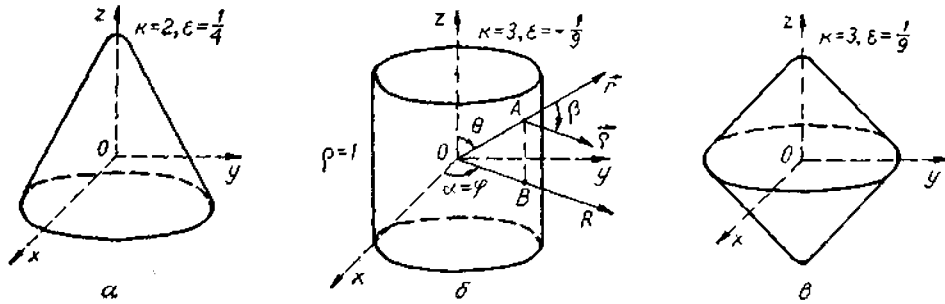


Рис. 1.

сти xoy). Значениям $k = 3$, $\varepsilon = \pm \frac{1}{6} \div \frac{1}{9}$ отвечает «квадрат», а следовательно, пространственные фигуры, представленные на рис. 1 б, в.

Связь между безразмерными декартовыми x , y , z и криволинейными ортогональными ϱ , ϑ , φ координатами имеет вид

$$\begin{aligned} x &= (\varrho \sin \vartheta - \varepsilon \varrho^{-k} \sin k\vartheta) \cos \varphi; \\ y &= (\varrho \sin \vartheta - \varepsilon \varrho^{-k} \sin k\vartheta) \sin \varphi; \\ z &= \varrho \cos \vartheta + \varepsilon \varrho^{-k} \cos k\vartheta. \end{aligned} \quad (1.2)$$

Безразмерные сферические координаты r , θ и угол β между радиальным направлением \vec{r} и нормалью $\vec{\rho}$ к контуру Γ выражаются через отображающую функцию $\omega(\zeta)$ по формулам

$$\begin{aligned} r &= \frac{1}{r_0} \sqrt{\omega(\zeta) \overline{\omega(\zeta)}}; \quad \theta = \operatorname{arctg} \frac{\operatorname{Im} \omega(\zeta)}{\operatorname{Re} \omega(\zeta)}; \\ e^{i\beta} &= \frac{\zeta \omega'(\zeta) \overline{\omega(\zeta)}}{|\zeta| |\omega'(\zeta)| |\omega(\zeta)|}. \end{aligned} \quad (1.3)$$

Следовательно, произвольная функция, зависящая от переменных x , y , z или r , θ , β , может быть представлена в виде ряда по степеням малого параметра ε ($|\varepsilon| \ll 1$).

Рассмотрим задачу о напряженном состоянии однородной изотропной среды, ограниченной неканонической поверхностью ($k > 1$) в случае нагрузки, симметрично распределенной относительно оси oz (осесимметричная задача). Исследование напряженного состояния среды будем проводить методом «возмущения формы границы». Для этого представим компоненты σ_ϱ , σ_ϑ , σ_φ , $\tau_{\varrho\vartheta}$ в виде рядов по степеням параметра ε , т. е.

$$\sigma_\varrho = \sum_{i=0}^{\infty} \varepsilon^i \sigma_\varrho^{(i)}, \dots, \tau_{\varrho\vartheta} = \sum_{i=0}^{\infty} \varepsilon^i \tau_{\varrho\vartheta}^{(i)}. \quad (1.4)$$

Используя формулы перехода от напряжений в сферической системе координат r, θ, α к соответствующим составляющим в криволинейной ортогональной системе координат $\varrho, \vartheta, \varphi$ и соотношения (1.3), а затем разлагая их в ряды вида (1.4), после приравнивания коэффициентов при одинаковых степенях параметра ε для определения компонентов j -го приближения получаем рекуррентные соотношения [7]

$$\begin{aligned} \begin{Bmatrix} \sigma_{\varrho}^{(j)} \\ \sigma_{\vartheta}^{(j)} \end{Bmatrix} &= \sum_{m=0}^j \left[\Lambda_1^{(j-m)} \begin{Bmatrix} \sigma_r^{(m)} \\ \sigma_{\theta}^{(m)} \end{Bmatrix} \pm \Lambda_2^{(j-m)} (\sigma_{\theta}^{(m)} - \sigma_r^{(m)}) \pm \Lambda_3^{(j-m)} \tau_{r\theta}^{(m)} \right]; \\ \sigma_{\varphi}^{(j)} &= \sum_{m=0}^j \Lambda_1^{(j-m)} \sigma_{\alpha}^{(m)}; \\ \tau_{\varrho\vartheta}^{(j)} &= \sum_{m=0}^j \left[\Lambda_4^{(j-m)} \tau_{r\theta}^{(m)} + \frac{1}{2} \Lambda_3^{(j-m)} (\sigma_{\theta}^{(m)} - \sigma_r^{(m)}) \right]. \end{aligned} \quad (1.5)$$

Здесь $\Lambda_i^{(j)}$ — дифференциальные операторы, которые для отображающей функции (1.1) в нулевом, первом и втором приближениях имеют вид

$$\begin{aligned} \Lambda_1^{(0)} &= \Lambda_4^{(0)} = 1; \quad \Lambda_2^{(0)} = \Lambda_3^{(0)} = \Lambda_2^{(1)} = 0; \\ \Lambda_1^{(1)} &= \Lambda_4^{(1)} = \frac{\cos(k+1)\vartheta}{\varrho^k} \frac{\partial}{\partial \varrho} - \frac{\sin(k+1)\vartheta}{\varrho^{k+1}} \frac{\partial}{\partial \vartheta}; \\ \Lambda_3^{(1)} &= \frac{2(k+1)\sin(k+1)\vartheta}{\varrho^{k+1}}; \quad \Lambda_4^{(2)} = \Lambda_1^{(2)} - 2\Lambda_2^{(2)}; \\ \Lambda_1^{(2)} &= \frac{1 + \cos 2(k+1)\vartheta}{4\varrho^{2k}} \frac{\partial^2}{\partial \varrho^2} - \frac{\sin 2(k+1)\vartheta}{2\varrho^{2k}} \frac{\partial^2}{\partial \varrho \partial \vartheta} \frac{1}{\varrho} + \\ &\quad + \frac{1 - \cos 2(k+1)\vartheta}{4\varrho^{2k+2}} \left(\frac{\partial^2}{\partial \vartheta^2} + \varrho \frac{\partial}{\partial \varrho} \right); \\ \Lambda_2^{(2)} &= \frac{(k+1)^2 [1 - \cos 2(k+1)\vartheta]}{2\varrho^{2k+2}}; \quad \Lambda_3^{(2)} = \frac{(k^2 - 1) \sin 2(k+1)\vartheta}{\varrho^{2k+2}} + \\ &\quad + \frac{(k+1)\sin 2(k+1)\vartheta}{\varrho^{2k+1}} \frac{\partial}{\partial \varrho} - \frac{(k+1)[1 - \cos 2(k+1)\vartheta]}{\varrho^{2k+2}} \frac{\partial}{\partial \vartheta}. \end{aligned} \quad (1.6)$$

Компоненты $\sigma_r^{(m)}(\varrho, \vartheta)$, $\sigma_{\theta}^{(m)}(\varrho, \vartheta)$, $\sigma_{\alpha}^{(m)}(\varrho, \vartheta)$, $\tau_{r\theta}^{(m)}(\varrho, \vartheta)$ записываются на основании их представлений в безразмерных (отнесенных к величине r_0) сферических координатах, если формально заменить переменные r, θ соответственно на ϱ, ϑ , а произвольные постоянные снабдить индексом (m) . Следовательно, согласно результатам монографии [5] в рассматриваемом случае для внешней задачи имеем

$$\begin{aligned} \sigma_r^{(m)}(\varrho, \vartheta) &= \frac{2G}{r_0^2} \sum_{n=0}^{\infty} \left[-\frac{n(n^2 + 3n - 2\nu)}{\varrho^{n+1}} C_n^{(m)} + \frac{(n+1)(n+2)}{\varrho^{n+3}} D_n^{(m)} \right] P_n(\cos \vartheta); \\ \sigma_{\theta}^{(m)}(\varrho, \vartheta) &= \frac{2G}{r_0^2} \sum_{n=0}^{\infty} \left\{ \left[\frac{n(n^2 - 2n - 1 + 2\nu)}{\varrho^{n+1}} C_n^{(m)} - \frac{(n+1)^2}{\varrho^{n+3}} D_n^{(m)} \right] P_n(\cos \vartheta) - \right. \end{aligned}$$

$$-\left[\frac{-n+4-4\nu}{\varrho^{n+1}} C_n^{(m)} + \frac{1}{\varrho^{n+3}} D_n^{(m)} \right] \operatorname{ctg} \vartheta \frac{dP_n(\cos \vartheta)}{d\vartheta} \Bigg\}; \quad (1.7)$$

$$\sigma_a^{(m)}(\varrho, \vartheta) = \frac{2G}{r_0^2} \sum_{n=0}^{\infty} \left\{ \left[\frac{n(n+3-4\nu-2\nu)}{\varrho^{n+1}} C_n^{(m)} - \frac{n+1}{\varrho^{n+3}} D_n^{(m)} \right] P_n(\cos \vartheta) + \right. \\ \left. + \left[\frac{-n+4-4\nu}{\varrho^{n+1}} C_n^{(m)} + \frac{1}{\varrho^{n+3}} D_n^{(m)} \right] \operatorname{ctg} \vartheta \frac{dP_n(\cos \vartheta)}{d\vartheta} \right\};$$

$$\tau_{r\vartheta}^{(m)}(\varrho, \vartheta) = \frac{2G}{r_0^2} \sum_{n=1}^{\infty} \left[\frac{n^2-2+2\nu}{\varrho^{n+1}} C_n^{(m)} - \frac{n+2}{\varrho^{n+3}} D_n^{(m)} \right] \frac{dP_n(\cos \vartheta)}{d\vartheta}.$$

Здесь $P_n(\cos \vartheta)$ — полиномы Лежандра; $C_n^{(m)}$, $D_n^{(m)}$ — произвольные постоянные, подлежащие определению из граничных условий; ν — коэффициент Пуассона.

Чтобы записать соответствующие выражения для внутренней задачи, достаточно в формулах (1.7) заменить n на $-n-1$.

Заметим, что для каждого конкретного значения n компоненты $\sigma_{\vartheta}^{(m)}(\varrho, \vartheta)$, $\sigma_a^{(m)}(\varrho, \vartheta)$ могут быть представлены разложениями только по полиномам $P_n(\cos \vartheta)$. Для этого необходимо воспользоваться формулой

$$\operatorname{ctg} \vartheta \frac{dP_n}{d\vartheta} = -nP_n - (2n-3)P_{n-2} - (2n-7)P_{n-4} - (2n-11)P_{n-6} - P'_{n-7}, \quad (1.8)$$

которая следует из рекуррентных соотношений [1]

$$nP_n - \cos \vartheta P'_n + P'_{n-1} = 0; \quad P'_{n+1} - P'_{n-1} = (2n+1)P_n, \quad (1.9)$$

где штрихом отмечена производная по $\cos \vartheta$.

Краевые условия для последовательных приближений в случае заданных усилий на граничной поверхности $\varrho = 1$ будут

$$(\hat{\sigma}_{\vartheta}^{(j)} + \sigma_{\vartheta}^{(j)})_{\varrho=1} = \sigma^{(j)}(\vartheta); \quad (\hat{\tau}_{\vartheta\vartheta}^{(j)} + \tau_{\vartheta\vartheta}^{(j)})_{\varrho=1} = \tau^{(j)}(\vartheta). \quad (1.10)$$

Здесь $\hat{\sigma}_{\vartheta}^{(j)}$, $\hat{\tau}_{\vartheta\vartheta}^{(j)}$ — известные величины, соответствующие действующим усилиям «на бесконечности»; $\sigma^{(j)}$, $\tau^{(j)}$ — заданные функции на поверхности тела.

Используя соотношения (1.5) — (1.7) и граничные условия (1.10), получаем

$$\frac{2G}{r_0^2} \sum_{n=0}^{\infty} \left[-n(n^2+3n-2\nu) C_n^{(m)} + (n+1)(n+2) D_n^{(m)} \right] P_n(\cos \vartheta) = \Phi^{(m)}(\nu, \vartheta); \quad (1.11)$$

$$\frac{2G}{r_0^2} \sum_{n=1}^{\infty} \left[(n^2-2+2\nu) C_n^{(m)} - (n+2) D_n^{(m)} \right] \frac{dP_n(\cos \vartheta)}{d\vartheta} = \Psi^{(m)}(\nu, \vartheta),$$

где $\Phi^{(m)}(\nu, \vartheta)$, $\Psi^{(m)}(\nu, \vartheta)$ — известные функции, которые могут быть представлены в виде

$$\Phi^{(m)}(\nu, \vartheta) = \sum_{n=0}^{\infty} a_n^{(m)}(\nu) P_n(\cos \vartheta); \quad \Psi^{(m)}(\nu, \vartheta) = \sum_{n=1}^{\infty} b_n^{(m)}(\nu) \frac{dP_n(\cos \vartheta)}{d\vartheta}. \quad (1.12)$$

Коэффициенты $a_n^{(m)}(\nu)$, $b_n^{(m)}(\nu)$ определяются формулами

$$a_n^{(m)}(\nu) = \frac{2n+1}{2} \int_0^\pi \Phi^{(m)}(\nu, \vartheta) P_n(\cos \vartheta) \sin \vartheta d\vartheta; \tag{1.13}$$

$$b_n^{(m)}(\nu) = \frac{2n+1}{2n(n+1)} \int_0^\pi \Psi^{(m)}(\nu, \vartheta) \frac{dP_n(\cos \vartheta)}{d\vartheta} \sin \vartheta d\vartheta.$$

Заметим, что в функции $\Phi^{(m)}(\nu, \vartheta)$ входят произведения вида $\cos k\vartheta \cdot P_n(\cos \vartheta)$, $\sin k\vartheta \cdot \frac{dP_n(\cos \vartheta)}{d\vartheta}$, а в функции $\Psi^{(m)}(\nu, \vartheta)$ — выражения $\cos k\vartheta \cdot \frac{dP_n(\cos \vartheta)}{d\vartheta}$, $\sin k\vartheta \cdot P_n(\cos \vartheta)$, $\sin k\vartheta \cdot \frac{d^2 P_n(\cos \vartheta)}{d\vartheta^2}$. Следовательно, специфика этих функций дает возможность получить представления (1.12) с помощью соответствующих рекуррентных соотношений [1,8], т. е. без использования формул (1.13).

Подставляя выражения (1.12) в уравнения (1.11), после приравнивания коэффициентов при одинаковых полиномах Лежандра и их производных получаем систему уравнений, из которой находим

$$C_n^{(m)} = -\frac{a_n^{(m)}(\nu) + (n+1)b_n^{(m)}(\nu)}{2[n(n+1) + 1 - (2n+1)\nu]}; \quad D_0^{(m)} = \frac{a_0^{(m)}}{2}; \tag{1.14}$$

$$D_n^{(m)} = \frac{1}{n+2} \left[(n^2 - 2 + 2\nu) C_n^{(m)} - \frac{r_0^2}{2G} b_n^{(m)}(\nu) \right] \quad (n \geq 1).$$

Таким образом, исходная граничная задача математической теории упругости для неканонических поверхностей формально свелась к последовательности краевых задач для сферических поверхностей.

§ 2. Предположим, что однородная изотропная среда с конической полостью (см. рис. 1, а) находится «на бесконечности» под действием внешних усилий

$$\sigma_x^{(\infty)} = \sigma_y^{(\infty)} = \sigma_z^{(\infty)} = p \quad (\tau_{xy}^{(\infty)} = \tau_{xz}^{(\infty)} = \tau_{yz}^{(\infty)} = 0), \tag{2.1}$$

где p — интенсивность нагрузки (значение $p > 0$ соответствует растяжению, $p < 0$ — сжатию).

Допустим, что коническая поверхность $\varrho = 1$ свободна от напряжений. Следовательно, согласно граничным условиям (1.10) имеем

$$\hat{\sigma}_\varrho^{(0)} = \hat{\sigma}_\vartheta^{(0)} = \hat{\sigma}_\varphi^{(0)} = p; \quad \hat{\tau}_{\varrho\vartheta}^{(0)} = 0; \quad \hat{\sigma}_\varrho^{(j)} = \hat{\sigma}_\vartheta^{(j)} = \hat{\sigma}_\varphi^{(j)} = \hat{\tau}_{\varrho\vartheta}^{(j)} = 0 \quad (j \geq 1); \tag{2.2}$$

$$\sigma^{(j)} = \tau^{(j)} = 0 \quad (j \geq 0).$$

При этом в первых трех приближениях отличными от нуля являются следующие постоянные (1.14): $C_3^{(1)}$, $C_2^{(2)}$, $C_4^{(2)}$, $C_6^{(2)}$, $D_0^{(0)}$, $D_1^{(1)}$, $D_3^{(1)}$, $D_0^{(2)}$, $D_2^{(2)}$, $D_4^{(2)}$, $D_6^{(2)}$.

Опуская промежуточные выкладки, которые проводятся по описанной в § 1 методике, приведем (с погрешностью порядка ε^3 по сравнению с единицей) окончательные выражения для напряжений

$$\sigma_i^{(j)} = \sigma_i^{*(j-1)} + \varepsilon^j \sigma_i^{(j)} \quad (i = \varrho, \vartheta, \varphi). \tag{2.3}$$

Здесь $\sigma_i^{*(0)} = \hat{\sigma}_i^{(0)} + \sigma_i^{(0)}$, откуда следует

$$\frac{\sigma_\rho^{*(0)}}{\rho} = 1 - \frac{1}{\rho^3}; \quad \frac{\sigma_\varphi^{*(0)}}{\rho} = \frac{\sigma_\varphi^{(0)}}{\rho} = 1 + \frac{1}{2\rho^3}. \quad (2.4)$$

По формулам (2.4) определяется напряженное состояние среды со сферической полостью.

В первом приближении получаем

$$\begin{aligned} \frac{\sigma_\rho^{(1)}}{\rho} &= \frac{9}{5} \left(\frac{1}{\rho^4} - \frac{1}{\rho^6} \right) \left[P_1(\cos \vartheta) + \frac{8(9-\nu)}{13-7\nu} P_3(\cos \vartheta) \right]; \\ \frac{\sigma_\varphi^{(1)}}{\rho} &= \frac{9}{10(13-7\nu)} \left[-\frac{3(7-13\nu)}{\rho^4} - \frac{19-\nu}{\rho^6} \right] P_1(\cos \vartheta) + \\ &+ \frac{48}{5(13-7\nu)} \left(-\frac{3-2\nu}{\rho^4} + \frac{13-2\nu}{\rho^6} \right) P_3(\cos \vartheta); \\ \frac{\sigma_\varphi^{(1)}}{\rho} &= \frac{9}{2(13-7\nu)} \left[-\frac{1+5\nu}{\rho^4} + \frac{3(3-\nu)}{\rho^6} \right] P_1(\cos \vartheta) - \\ &- \frac{36}{13-7\nu} \left(\frac{1-2\nu}{\rho^4} - \frac{1}{\rho^6} \right) P_3(\cos \vartheta). \end{aligned} \quad (2.5)$$

Компонентам второго приближения при $\rho=1$ соответствуют выражения

$$\frac{\sigma_\rho^{(2)}}{\rho} \Big|_{\rho=1} = a(\nu) + b(\nu) P_2(\cos \vartheta) + c(\nu) P_4(\cos \vartheta) + d(\nu) P_6(\cos \vartheta); \quad (2.6)$$

$$\frac{\sigma_\varphi^{(2)}}{\rho} \Big|_{\rho=1} = -a(\nu) + b^*(\nu) P_2(\cos \vartheta) + \nu c(\nu) P_4(\cos \vartheta) + \nu d(\nu) P_6(\cos \vartheta).$$

Здесь введены следующие обозначения:

$$\begin{aligned} a(\nu) &= \frac{1}{5\Omega(\nu)} (230146 - 877650\nu + 930734\nu^2 - 283230\nu^3); \\ b(\nu) &= \frac{1}{\Omega(\nu)} (-193508 + 153072\nu + 176420\nu^2 - 115920\nu^3); \\ b^*(\nu) &= \frac{1}{\Omega(\nu)} (13328 - 40740\nu + 23824\nu^2 + 23652\nu^3); \\ c(\nu) &= \frac{7-5\nu}{5\Omega(\nu)} (-455616 + 483264\nu); \quad d(\nu) = \frac{15360}{77(13-7\nu)}; \\ \Omega(\nu) &= 77(7-3\nu)(7-5\nu)(13-7\nu). \end{aligned} \quad (2.7)$$

По меридиальному сечению $\vartheta=0$ имеет место формула

$$\begin{aligned} \frac{\sigma_\rho^{(2)}}{\rho} \Big|_{\vartheta=0} &= \frac{\sigma_\varphi^{(2)}}{\rho} \Big|_{\vartheta=0} = \frac{4334 - 13176\nu + 9610\nu^2}{35(7-5\nu)(13-7\nu)\rho^3} + \\ &+ \frac{587391 - 3140793\nu + 3907641\nu^2 - 1349775\nu^3}{5\Omega(\nu)\rho^5} + \\ &+ \frac{-280938 + 264960\nu - 41382\nu^2}{77(7-3\nu)(13-7\nu)\rho^7} + \frac{5101 - 439\nu}{11(13-7\nu)\rho^9}. \end{aligned} \quad (2.8)$$

На рис. 2 дано распределение напряжений вдоль половины меридионального сечения конической полости $\rho = 1$ при $\nu = 0,3$; $\varepsilon = 0,25$. Исследования показали, что зона повышенной концентрации напряжений носит ярко выраженный локальный характер (рис. 3).

§ 3. Рассмотрим задачу о напряженном состоянии однородной изотропной среды, ограниченной изображенными на рис. 1 б, в неканоническими поверхностями вращения. Как и в § 2, предполагается, что «на бесконечности» среда находится под действием усилий (2.1), а поверхность $\rho = 1$

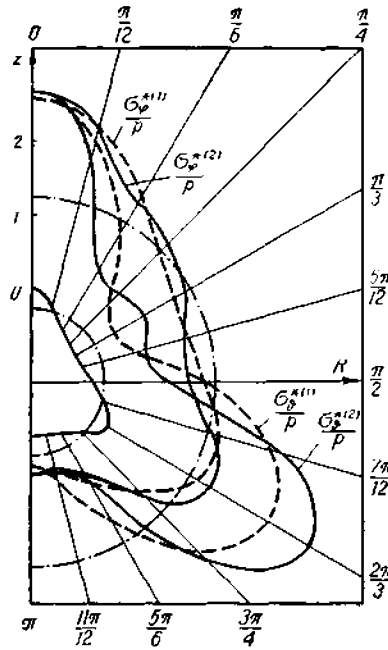


Рис. 2.

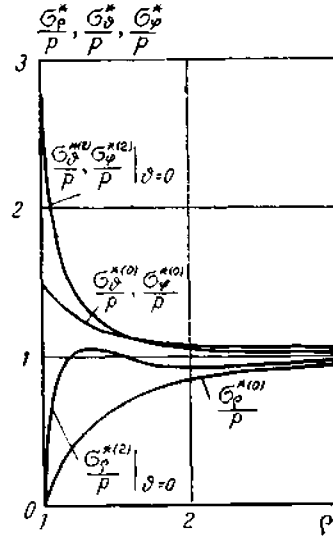


Рис. 3.

свободна от напряжений. Тогда для этой задачи справедливы формулы (2.4).

В первом приближении коэффициенты разложений (1.12) имеют простой вид

$$a_0^{(1)} = \frac{1}{5}\rho; \quad a_2^{(1)} = \frac{16}{7}\rho; \quad a_4^{(1)} = -\frac{192}{35}\rho; \quad b_2^{(1)} = -\frac{8}{7}\rho; \quad b_4^{(1)} = \frac{96}{35}\rho. \quad (3.1)$$

Следовательно, по формулам (1.14) легко определить коэффициенты $C_2^{(1)}$, $C_4^{(1)}$, $D_0^{(1)}$, $D_2^{(1)}$, $D_4^{(1)}$ ($C_n^{(1)} = 0$ при $n \neq 2, 4$ и $D_n^{(1)} = 0$ при $n \neq 0, 2, 4$). Тогда на основании соотношений (1.5)–(1.7) получаем

$$\begin{aligned} \frac{\sigma_\rho^{(1)}}{\rho} &= \sum_{k=0}^2 \sum_{j=0}^2 h_{kj}(\nu) e^{-2j-3} P_{2k}(\cos \vartheta) + 3e^{-7} \cos 4\vartheta; \\ \begin{Bmatrix} \sigma_\theta^{(1)} \\ \sigma_\varphi^{(1)} \end{Bmatrix} &= \rho \sum_{k=0}^2 \sum_{j=0}^2 \begin{Bmatrix} t_{kj}(\nu) \\ t_{kj}(\nu) \end{Bmatrix} e^{-2j-3} P_{2k}(\cos \vartheta) - \frac{3}{2} \rho e^{-7} \cos 4\vartheta; \\ \frac{\tau_{\theta\varphi}^{(1)}}{\rho} &= \sum_{k=1}^2 \sum_{j=0}^2 q_{kj}(\nu) e^{-2j-3} \frac{dP_{2k}(\cos \vartheta)}{d\vartheta} + 6e^{-7} \sin 4\vartheta. \end{aligned} \quad (3.2)$$

Здесь $h_{kj}(\nu)$, $l_{kj}(\nu)$, $t_{kj}(\nu)$, $q_{kj}(\nu)$ — известные выражения, причем

$$\sum_{k=0}^2 \sum_{j=0}^2 l_{kj}(\nu) = \sum_{k=0}^2 \sum_{j=0}^2 t_{kj}(\nu) = -\frac{1}{10} - \frac{16(5-\nu)}{7(7-5\nu)} + \frac{96(21+11\nu)}{35(7-3\nu)}. \quad (3.3)$$

При отыскании компонентов второго приближения задача значительно усложняется. Так, например, для составляющей $\sigma_q^{(2)}$ имеем формулу

$$\begin{aligned} \frac{\sigma_q^{(2)}}{\rho} = & \frac{\sigma_r^{(2)}(\varrho, \vartheta)}{\rho} + \sum_{k=0}^2 \sum_{j=0}^2 \varrho^{-2j-7} \left[(8q_{kj} - h_{kj}) \sin 4\vartheta \frac{dP_{2k}(\cos \vartheta)}{d\vartheta} - \right. \\ & \left. - (2j+3)h_{kj} \cos 4\vartheta P_{2k}(\cos \vartheta) \right] + \frac{3}{4} \varrho^{-11} (13 - 21 \cos 8\vartheta), \end{aligned} \quad (3.4)$$

где выражение $\sigma_r^{(2)}(\varrho, \vartheta)$ определяется формулой (1.7).

После соответствующих представлений типа (1.12) и группирования выражений при одинаковых полиномах Лежандра и их производных коэффициенты $a_n^{(2)}(\nu)$, $b_n^{(2)}(\nu)$ принимают вид

$$\begin{aligned} a_0^{(2)}(\nu) &= \frac{1}{5} \left[-\frac{251}{5} + \frac{128(5-7\nu)}{49(7-5\nu)} + \frac{8192(7-5\nu)}{147(7-3\nu)} \right] \rho; \\ a_2^{(2)}(\nu) &= \frac{16}{7} \left[-\frac{46}{55} - \frac{5(41-31\nu)}{7(7-5\nu)} + \frac{64(133-65\nu)}{231(7-3\nu)} \right] \rho; \\ a_4^{(2)}(\nu) &= \frac{192}{385} \left[\frac{38}{13} - \frac{48(15-11\nu)}{7(7-5\nu)} + \frac{17423-8095\nu}{91(7-3\nu)} \right] \rho; \\ a_6^{(2)}(\nu) &= \frac{1024}{11} \left[-\frac{1}{5} + \frac{115-77\nu}{49(7-5\nu)} + \frac{161-73\nu}{147(7-3\nu)} \right] \rho; \\ a_8^{(2)}(\nu) &= \frac{4096}{11} \left[\frac{7}{65} - \frac{2(49-17\nu)}{39(7-3\nu)} \right] \rho; \\ b_2^{(2)}(\nu) &= \frac{8}{7} \left[\frac{38}{165} - \frac{71-45\nu}{7(7-5\nu)} - \frac{64(49-69\nu)}{231(7-3\nu)} \right] \rho; \\ b_4^{(2)}(\nu) &= \frac{96}{35} \left[-\frac{118}{715} + \frac{8(25-26\nu)}{77(7-5\nu)} - \frac{8085-8017\nu}{1001(7-3\nu)} \right] \rho; \\ b_6^{(2)}(\nu) &= \frac{512}{77} \left[\frac{1}{15} - \frac{5-3\nu}{7-5\nu} - \frac{77-69\nu}{21(7-3\nu)} \right] \rho; \\ b_8^{(2)}(\nu) &= \frac{2048}{429} \left[-\frac{1}{5} + \frac{4(7-2\nu)}{7-3\nu} \right] \rho. \end{aligned} \quad (3.5)$$

Тогда формулы (1.14) дают возможность определить ненулевые коэффициенты $C_n^{(2)}$ ($n=2, 4, 6, 8$) и $D_n^{(2)}$ ($n=0, 2, 4, 6, 8$), входящие в компоненты $\sigma_r^{(2)}(\varrho, \vartheta)$, $\sigma_\vartheta^{(2)}(\varrho, \vartheta)$, $\sigma_a^{(2)}(\varrho, \vartheta)$, $\tau_{\vartheta}^{(2)}(\varrho, \vartheta)$ согласно соотношениям (1.7). Следовательно, с точностью порядка ε^3 по сравнению с единицей могут быть

найлены все составляющие напряжений. Ввиду громоздкости приведем соответствующие им выражения лишь для некоторых характерных числовых значений ϵ , ν , ρ , ϕ . Так, при $\nu = 0,3$ на основании формулы (2.3) имеем

$$\begin{aligned} \frac{\sigma_{\phi}^{*(2)}}{\rho} \Big|_{\substack{\phi=1, \\ \epsilon=-1/9}} &\cong 1,5404 + 0,4514P_2 - 1,4763P_4 - 0,3709P_6 + 0,6492P_8; \\ \frac{\sigma_{\phi}^{*(2)}}{\rho} \Big|_{\substack{\phi=1, \\ \epsilon=-1/9}} &\cong 1,4551 - 0,3549P_2 - 0,3900P_4 - 0,1113P_6 + 0,1948P_8; \quad (3.6) \\ \frac{\sigma_{\phi}^{*(2)}}{\rho} \Big|_{\substack{\phi=0, \\ \epsilon=1/9}} = \frac{\sigma_{\phi}^{*(2)}}{\rho} \Big|_{\substack{\phi=0, \\ \epsilon=1/9}} &\cong 1 + \frac{0,5205}{\rho^3} - \frac{0,7672}{\rho^5} + \frac{1,6911}{\rho^7} - \frac{1,7125}{\rho^9} + \frac{1,7004}{\rho^{11}}. \end{aligned}$$

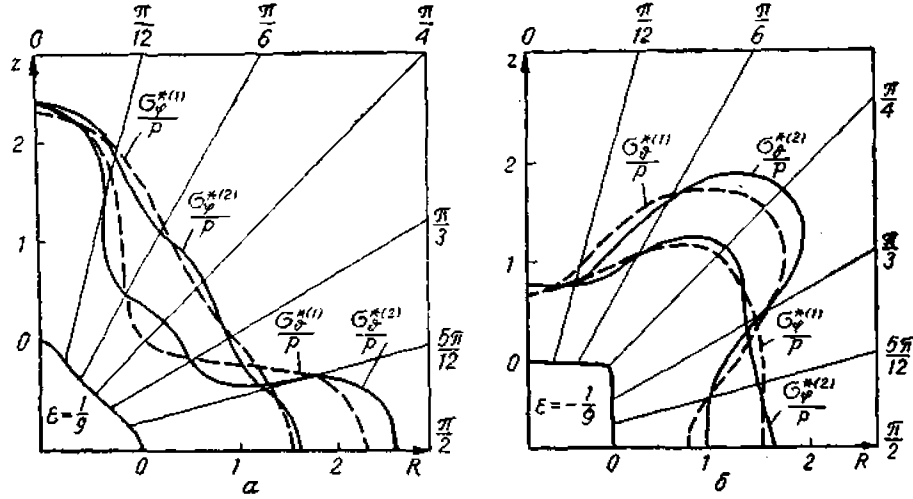


Рис. 4.

На рис. 4 а, б дано распределение напряжений вдоль четверти меридионального сечения неканонических поверхностей вращения, изображенных на рис. 1, б, в при $\nu = 0,3$, $\epsilon = \pm \frac{1}{9}$. Штриховые линии соответствуют компонентам напряженного состояния в первом приближении, сплошные — во втором.

Кривые на рис. 5 построены для $\nu = 0,3$, $\epsilon = -\frac{1}{9}$, $\phi = \frac{\pi}{4}$ (штриховая линия соответствует напряжениям $\frac{\sigma_{\phi}^{*(2)}}{\rho}$, $\frac{\sigma_{\phi}^{*(2)}}{\rho}$ при $\phi = 0$,

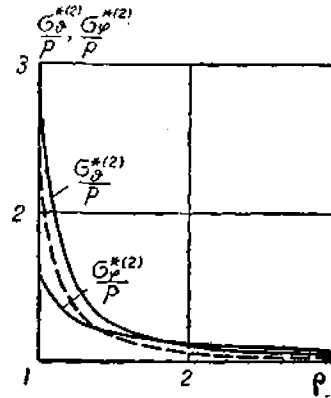


Рис. 5.

$\epsilon = \frac{1}{9}$). Графики показывают, что на незначительном расстоянии от поверхности полости концентрация напряжений резко уменьшается.

В заключение отметим, что аналогично могут быть рассмотрены осесимметричные статические граничные задачи о напряженном состоянии среды с жесткими или упругими включениями, а также краевые задачи о деформации замкнутых толстостенных неканонических оболочек вращения, находящихся в поле силовых или температурных воздействий.